

OBSERVATOIRE ROYAL DE BELGIQUE

P. STROOBANT, DIRECTEUR

BULLETIN SÉISMIQUE

ANNÉE 1935



GEMBOUX
IMPRIMERIE J. DUCULOT, ÉDITEUR

INTRODUCTION

En 1935, nos séismographes Wiechert et Galitzine ont fonctionné régulièrement et dans les mêmes conditions que pendant les années antérieures.

L'enregistrement du vertical Wilip a été interrompu le 16 mai. L'appareil, après avoir subi une transformation radicale, a été remis en fonction, pour essai, à la date du 28 septembre. Nous ferons connaître plus tard les résultats de ces essais.

Température de la cave. Du 1^{er} janvier au 29 juin et du 8 novembre au 31 décembre, la température s'est maintenue entre 11^o,4 et 12^o,3 C. Du 29 juin au 14 septembre, elle s'est élevée lentement jusqu'à 14^o,2 pour redescendre ensuite à 12^o,0 le 8 novembre, date à laquelle le chauffage par radiateurs électriques a été rétabli.

CONSTANTES DES SÉISMOGRAPHES GALITZINE.

	N-S	E-W
T_1 :	24 ^s ,5	24 ^s ,5
l :	124,7 mm.	123,8 mm.
A_1 :	1034 mm.	1037 mm.

Les autres constantes ont varié comme suit :

μ :	— 0,03 à + 0,09	— 0,02 à + 0,09
T :	24 ^s ,1 — 24 ^s ,7	24 ^s ,2 — 24 ^s ,6
k :	41,5 — 42,5	38,7 — 39,7

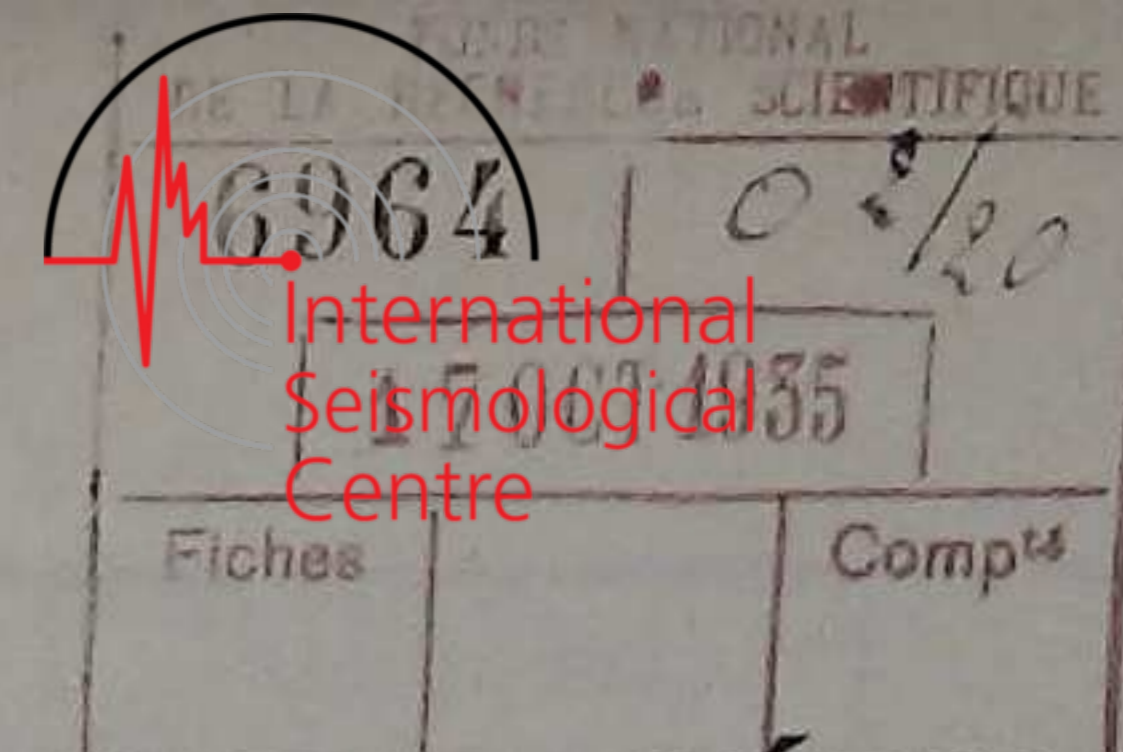
CONSTANTES DES SÉISMOGRAPHES WIECHERT.

	N-S	E-W	Vertical.
$\frac{r}{T^2}$:	0,009	0,015 à 0,016	0,014
T :	11 ^s ,1 — 11 ^s ,2	10 ^s ,5 — 10 ^s ,7	4 ^s ,7 — 4 ^s ,8
ε :	3,2 — 3,5	2,7 — 3,1	3,1 — 3,3
V :	149 — 150	168 — 170	153 — 158

Pour l'explication des signes employés dans les bulletins, voir l'introduction de l'année 1927 et les notations internationales. Pour l'analyse des séismogrammes, nous avons utilisé les tables de J. B. Macelwane.

O. SOMVILLE.

1935 N° 2



Du 4 Avril au 31 Mai.

BULLETIN SÉISMIQUE

DE

L'OBSERVATOIRE ROYAL DE BELGIQUE, A UCCLE

 $\varphi = 50^{\circ}47'55''$ N. $\lambda = 4^{\circ}21'31''$ E, $h = 100$ m.

Sous-sol : sable.

Instruments : Deux pendules horizontaux GALITZINE et un vertical WILIP-GALITZINE à enregistrement photogalvanométrique. Un pendule inversé de WIECHERT (masse 1000 kg.). Un vertical WIECHERT (masse 1300 kg.).

DATES	PHASES	HEURES	T	AMPLITUDES			Δ_{Mcw} klm.	REMARQUES
				A_N	A_E	A_Z		
4/iv	eL F	1 ^h 21 ^m 30		μ	μ	μ		
5/iv	eL F	4 15 30						Ag.
	eL F	9 41 (50)						Ag.
11/iv	P iPP iPPP iS m SSS L M M	23 22 2 ^s 23 33 24 10 27 54 28 19 30 26 33 36 53 41 0	20 ^a 29 24,5			— 25 + 66 + 63	4070	Vertical. Compression id. et E-W. id. E-W. N-S. Épicentre : Perse (province de Mazandéran).
12/iv	F e i F	1 50 12 53 17 57 43 13 35						E-W. E-W.
19/iv	iP iS iS iS m* m* L F eP eP S S S L eP iS iS iS iS L F	15 28 6 31 47 51 32 5 17 17 33 19 30 16 23 (28) 18 2 32 6 22 23 30 7 20 36 26 40 11 13 20 21 41 22 0	8 10			— 175 — 240	2190	Dilatation E-W. Galitzine N-S. id. Vert. Wilip et E-W. Wiechert. Ressenti en Tripolitaine. Vert. Wiechert. Superposé au précédent. Vert. Wiechert. N-S. id. Vert. Wilip et N-S. Galitzine. E-W. Galitzine. Réplique. Superposé à l'avant précédent. Vertical. E-W. Galitzine. N-S. Galitzine. Vert. Wilip et N-S. Wiechert. N-S. et E-W. Galitzine. Réplique.

DATES	PHASES	HEURES	T	AMPLITUDES			$\Delta_{M_{CW}}$ klm.	REMARQUES
				A_N μ	A_E μ	A_Z μ		
20/IV	eP	5h 15m 43s	40s				2180	Vertical. id. N-S. Galitzine. E-W. Galitzine. N-S. Galitzine et Wiechert. E-W. Galitzine. Réplique. (9560) Vertical. id. E-W. Épicentre : Formose.
	iP	52						
	S	19 23						
	S	27						
	iS	34						
	iS	43						
	L	20						
	F	7 0						
	eP	22 14 42						
	iP	44						
	e(SKS)	25 11						
	eSS	31 3						
	eL	41						
	M	49 26						
M	48							
M	50 11							
M	31							
F	20							
21/IV	F	1 30						
	eL	8 (20)						Changement des feuilles.
	F	9 30						
23/IV	eL	20 0						
	F	15						
	eP	16 56 55					(6560)	Vertical. N-S.
24/IV	e(S)	17 5 8						Ag.
	M	26-27						Vertical. id. Ag.
	F	?						Vertical. Ag.
26/IV	eL	8 24						Changement des feuilles.
	F	(35)						
	e(P)	19 9 38					(2900)	Vertical. Épicentre : îles Açores.
27/IV	e(S)	14 14						Ag.
	eL	16						
	F	40						
29/IV	e	19 36,0						
	F	45						
1/V	eL	4 41						
	F	50						
	P	10 30 41					3180	Vertical. N-S. N-S.
	iS	35 37						Épicentre : Caucase.
	iSS	37 3						
	L	39						
2/V	M	46 17	14					
	F	12 0						
	eL	8 26						
4/V	F	35						
	—	12 47-53						Traces.
	eL	20 34						
4/V	F	43						
	(e)	23 25,9						E-W.
	eL	49						
4/V	F	0 25						
	F	0 25						

DATES	PHASES	HEURES	T	AMPLITUDES			$\Delta_{M_{CW}}$ klm.	REMARQUES
				A_N μ	A_E μ	A_Z μ		
5/V	eL	19h 7m						
	F	35						
7/V	e(L)	6 47						Ag.
	F	7 (30)						
9/V	eL	5 33						
	F	50						
12/V	—	22 0-15						Traces.
13/V	eP	20 5 46s					(8700)	Vertical.
	PP	8 46						
	e(S)	15,7						
	eSS	20 42						
	eL	35						
	M	37 54	24s					
	F	21 45						
14/V	P	0 2 59						Vertical. E-W.
	e	25,9						
	F	2 15						
15/V	e	23 42 2					12220	Vertical. id. N-S. E-W. N-S. et Vertical. N-S. E-W. E-W.
	iPP	19						
	iSKS	48 6						
	i(SKKS)	50 3						
	iPS	51 47						
	iPPS	52 43						
	SS	57 53						
	SSS	0 1 58						
	L	8						
	M	17 56	37					Épicentre : Atlantique, au Nord des îles Sandwich.
	M	18 11	31					
16/V	M	20 17	28					
	M	24 44	20					Dans le suivant.
	F	—						
16/V	eP	2 10 41					5730	Vertical. N-S. et E-W.
	eS	18 7						
	eL	30						Épicentre : Bélouchistan.
	M	33 56	20					
	F	35						
18/V	eL	17 48						
	F	18 10						
	e(P)	21 1 15						Vertical Wiechert.
18/V	e	23,8						
	eL	(41)						
	F	23 15						
20/V	eL	5 47						
	F	7 0						
	eL	18 29						
20/V	F	42						
	eP	4 33 4						Vertical. Wiechert.
	eL	58						
21/V	F	5 10						
	e	7 22 33						
	eL	47						
21/V	F	9 (30)						Ag.

DATES	PHASES	HEURES	T	AMPLITUDES			Δ_{Mcw} klm.	REMARQUES
				A_N	A_E	A_Z		
23/v	eP S L F	18 ^b 7 ^m 35 ^s 14 25 19 19 15		μ	μ	μ	5100	E-W. E-W. Épicentre : 24°5N, 46° W d'après JSA.
24/v	eP PP SKS SKKS SS eL M M M F	5 50 (17) 54 25 6 0 (58) 1 54 8 41 21 32 14 40 8 42 16 9 —	20 ^s 20 18	+ 40 — 31		— 30	11000	Vertical Wiechert. E-W. Dans l'int. de l'heure. N-S. Épicentre : îles Philippines. Changement des feuilles.
25/v	e eL F	0 32 29 57 2 15						
26/v	e e e eL M F	22 21,6 28 13 29 10 (55) 23 0 0 15						E-W. N-S.
27/v	e e F	3 22 46 5 40						N-S. N-S.
28/v	eL F (e) e eL F	6 22 40 17 11 39 21,4 40 18 20						Vertical Wiechert. N-S.
29/v	eL F	20 28 21 0						
30/v	eP i i i S i i L M* M* M* M*	21 41 52 44 7 45 8 46 21 49 12 41 50 2 58 22 5 4 8 58 9 42 11 38	19 13 12,5 12	— 540 — 190		+ 130	5630	Vertical Wiechert. E-W. Galitzine. E-W. id. E-W. id. N-S. id. et Wiechert. E-W. Wiechert. E-W. id. Destructeur région de Quetta (Béloutchistan).
31/v	F eP e(S) F eL F eL F	3 0 8 30 1 39 27 ? 13 32 50 17 35 55		— 150			(8000)	Vertical Wiechert. Horiz. Wiechert. O. SOMVILLE. CH. CHARLIER.

1935 N° 3

Du 1^{er} Juin au 2 Août.

BULLETIN SÉISMIQUE

DE

L'OBSERVATOIRE ROYAL DE BELGIQUE, A UCCLE

 $\varphi = 50^{\circ}47'55''$ N. $\lambda = 4^{\circ}21'31''$ E, $h = 100$ m.

Sous-sol : sable.

Instruments : Deux pendules horizontaux GALITZINE et un vertical WILIP-GALITZINE à enregistrement photo-galvanométrique. Un pendule inversé de WIECHERT (masse 1000 kg.). Un vertical WIECHERT (masse 1300 kg.).

DATES	PHASES	HEURES	T	AMPLITUDES			Δ_{Mcw} klm.	REMARQUES
				A_N	A_E	A_Z		
1/vi	eL F	4 ^b 50 ^m 5 30		μ	μ	μ		
2/vi	eL F	15 30 16 0						
2/vi	iP PP S S SS L F	9 25 25 ^s 27 21 32 40 46 36 27 44 11 0					5540	Vert. Wiechert. Compression. E-W. E-W. N-S. E-W. Épicentre : Béloutchistan.
5/vi	(e) e F	11 50,0 51 31 55						N-S. et E-W. Wiechert E-W. Wiechert.
9/vi	eL F	7 27 50						
11/vi	eL F	22 56 23 15						
18/vi	(e) M F	22 52 56 23 23 ?						N-S. Ag.
19/vi	(e) eL F	22 37 12 23 16 0 30						Ag.
22/vi	eL F	16 45 17 30						Ag.
23/vi	eL F	7 41 50						Ag.
24/vi	P' iPP i(PKS) i(PKS) i i(SKS) i(SKKS)	23 42 26 45 44 46 11 14 46 50 49 21 52 24					(15800)	Vert. Wiechert. N-S. E-W. N-S. E-W. N-S. N-S.
25/vi	iSS i iSSS eL M F	0 4 12 5 8 9 17 23 31 43 2 40	32 ^s	— 42				E-W. E-W. E-W. Épicentre : Région Nouvelles — Hébrides.

7306
5 OCT 1935
Fiches Comp

DATES	PHASES	HEURES	T	AMPLITUDES			$\Delta_{M_{cw}}$ klm.	REMARQUES
				A_N	A_E	A_Z		
25/vi	eL F	13 h 10 ^m 14 30		μ	μ	μ		Ag.
27/vi	eP e(P) i i iS F	17 20 37 ^a 56 21 24 37 44 45						Z, N-S. et E-W. Wiechert. E-W. Wiechert. Z et E-W. Wiechert. N-S. Galitzine. Z. Wiechert. Foyer dans le Haut Souabe
28/vi	e eL F (e) e i F	2 28 52 3 50 9 11 (2) 38 56 14						Galitzine et Wiechert N-S. Wiechert. N-S. et E-W. Wiechert. Réplique, Haut Souabe.
29/vi	eL F iP PP S SS SSS L M M M M F	19 41 20 5 7 1 39 5 07 12 20 18 19 21 46 26 33 45 40 44 41 1 16 16 9 30					9700	Vert. Wiechert Compression. E-W. E-W. E-W. Épicentre : côte W. du Mexique.
30/vi	—	0 45-47						Ag. Traces.
5/vii	P i S i L M M M F	18 1 19 3 24 8 0 11 30 16 23 19 24 13 25 39 19 30					4940	Vert. Wiechert. E-W. N-S. Épicentre : Turkestan.
7/vii	(e) e e e eL M F	13 40,3 46,9 48 30 53,4 14 9 13 43 15 (0)					20,5	Ag. E-W. E-W. N-S. E-W.
9/vii	eL F eL F (e) eL F e(L) F eL F	2 59 3 20 5 30 55 7 5 38 31 8 20 13 12 15 (0) 22 7 45						Ag. Ag.

DATES	PHASES	HEURES	T	AMPLITUDES			$\Delta_{M_{cw}}$ klm.	REMARQUES
				A_N	A_E	A_Z		
11/vii	eP e(S) eL F	8h 37 ^m (23) ^s 47 52 9 4 10 0		μ	μ	μ	(9410)	Vert. Wiechert. E-W.
12/vii	eL F	2 8 35						
13/vii	iP S F	0 7 24 10 28 17					1750	E-W. Épicentre : Roumanie.
15/vii	P e e(L) F e eL F	14 32 (23) 34 33 54 15 10 18 23 35 19 0						Vert. Wiechert id.
16/vii	iP e(S) eL M M F e eL F	16 31 42 42 (32) 17 4 7 18 37 18 15 20 25 32 54 21 30					21 ^a 21	Vert. Wiechert. Compression N-S. Épicentre : Région Formose.
17/vii	e F eP S SS L F i e eL F	0 10 2 0 4 41 (5) 48 47 52 39 55 5 (50) 11 4 30 15 13 (36) 13 (15)						Ag. Vert. Wiechert. N-S. Forte Ag.
19/vii	eP i PP S SS L M M M M M F	1 2 21 29 5 43 12 51 18,9 29 35 37 47 38 17 39 48 42 17 4 0					26 24,5 22 20,5 23	9430 Vert. Wiechert. Compression. N-S. E-W. Épicentre : Japon.
23/vii	e eL F	4 16 41 24 5 0						
26/vii	(eP) eS SS eL F	4 55 43 5 5 57 11 32 21 6 5						(9070) E-W. Faible. E-W. E-W.



BULLETIN SÉISMIQUE

DE

L'OBSERVATOIRE ROYAL DE BELGIQUE, A UCCLE

$\varphi = 50^{\circ}47'55''$ N. $\lambda = 4^{\circ}21'31''$ E, $h = 100$ m. Sous-sol : sable.

Instruments : Deux pendules horizontaux GALITZINE et un vertical WILIP-GALITZINE à enregistrement photogalvanométrique. Un pendule inversé de WIECHERT (masse 1000 kg.). Un vertical WIECHERT (masse 1300 kg.).

DATES	PHASES	HEURES	T	AMPLITUDES			Δ_{Mcw} klm.	REMARQUES
				A_N	A_E	A_Z		
26/vii	eP	8 h 14 m 40 s	23 ^a 17,5	μ	μ	μ	(17000)	H. Wiechert.
	(eS)	25 3						N-S. Galitzine et Wiechert.
	F	9 (0)						Ag.
	e	10 52 38						N-S.
	e	11 0 13						N-S.
	L	5						
	M	10 0						
27/vii	eL	4 28						
	F	43						
28/vii	e(P)	5 32 33					Vert. Wiechert.	
	e	39 32					N-S. Forte Ag.	
29/vii	e	4 36	20	μ	μ	μ	(17000)	
	eL	5 1						
	F	30						
	eP ₁	7 57 39						
	e	43						
	iP ₂	55						
	i	59 7						
	i	51						
	i(SKP)	8 0 41						
	i(PP)	1 19						
	i	2 20						
	i	3 18						
	i(SKS)	4 10						
	i(PPP)	52						
	i(SKKS)	7 32						
	i	10 41						
	i(PSKS)	11 48						
	i	14 5						
	i	16 21						
	i	18 29						
i	24 15							
M	31 35							
F	11 (0)							
30/vii	e	23 35						
	eL	41						
	F	0 45						
	e	6 18						
	e	23						
31/vii	eL	10 23						
	F	40						
	F	8 (0)						
1/viii	(e)	14 20 18						
	e	24 26						
	e	28 28						
	e	30 59						
	e	33 29						
	M	15 0						
	F	—						
	e	16 31 40						
	e	36 17						
	eL	43						
F	17 (50)							

O. SOMVILLE
CH. CHARLIER.

DATES	PHASES	HEURES	T	AMPLITUDES			Δ_{Mcw} klm.	REMARQUES
				A_N	A_E	A_Z		
3/viii	eP	1h 22m 52s	25*5 21 19 18 20	μ	μ	μ	(10000)	E-W.
	e	27 4						
	ePPP	28 29						
	SKS	33 19						
	i	30						
	i	37						
	SS	39 33						
	L	50						
	M	59 17						
	M	2 3 27						
	M	7 32						
	M	9 39						
	M	15 43						
F	5 30							
4/viii	eP	5 37 2	—	μ	μ	μ	(10000)	Vert. Wiechert et E-W.
	e	40,4						
	eL	43						
	F	6 5						
	F	12 38						
4/viii	eL	12 38	—	μ	μ	μ	(10000)	
	F	13 (5)						
4/viii	eL	3 10	—	μ	μ	μ	(10000)	
	F	(40)						
6/viii	e	18 33	—	μ	μ	μ	(10000)	
	F	42						
6/viii	e	0 18 43	—	μ	μ	μ	(10000)	
	eL	(41)						
6/viii	F	2 15	—	μ	μ	μ	(10000)	
	F	2 15						
7/viii	(eP)	9 14,8	—	μ	μ	μ	(10000)	Vert. Wiechert. Faible.
	F	10 30						
7/viii	F	10 30	—	μ	μ	μ	(10000)	Changement des feuilles.
	F	10 30						
10/viii	e	18 1,0	—	μ	μ	μ	(10000)	N-S. Dans l'inter. de l'heure.
	e	7 16						
	eL	19						
10/viii	F	20 0	—	μ	μ	μ	(10000)	N-S.
	F	20 0						
11/viii	eL	9 29	—	μ	μ	μ	(10000)	
	F	45						
11/viii	eL	20 25	—	μ	μ	μ	(10000)	
	F	50						
14/viii	e	12 55 42	—	μ	μ	μ	(10000)	Ondes courtes.
	F	57						

Ressenti à Clermont-Ferrand.

DATES	PHASES	HEURES	T	AMPLITUDES			$\Delta_{M_{Cw}}$ klm.	REMARQUES
				A_N μ	A_E μ	A_Z μ		
17/VIII	<i>eP'</i>	2h 4m 18 ^s	20 ^s	— 73			(17000)	Vert. Wiechert.
	<i>i</i>	26						id.
	<i>i</i>	32						N-S. Wiechert.
	<i>i</i> (<i>PP'</i>)	38						Horiz. Galitzine.
	<i>i</i>	5 28						Vert. Wiechert.
	<i>i</i>	6 34						id.
	<i>iPP</i>	8 8						N-S.
	<i>e</i>	11 25						N-S et E-W.
	<i>iSKKS</i>	14 49						N-S Wiechert.
	<i>iSKKS</i>	51						N-S Galitzine.
	<i>iPSKS</i>	18 22						N-S.
	<i>i</i>	21 6						N-S.
	<i>i</i>	23 24						N-S.
	<i>iSS</i>	27 24						E-W.
	<i>iSSS</i>	33 41						E-W.
	L	48						
	M	3 0 45						30
M	4 15	60						
F	6 50							
	<i>eL</i>	21 16						
	F	40						
18/VIII	—	9 52-58						Traces.
19/VIII	<i>e</i>	18 33,9						Ondes courtes.
	F	35						Ressenti à Angoulême.
20/VIII	(S)	9 2 53						N-S. Changement des feuilles.
	F	25						
21/VIII	<i>i</i> (P)	14 8 12						Vert. Wiechert.
	<i>e</i>	11 33						N-S.
	<i>e</i>	21 43						N-S.
	<i>e</i>	30 18						E-W.
	F	15 40						
22/VIII	<i>eP</i>	20 38 13					4070	Vert. Wiechert.
	<i>iS</i>	44 5						N-S
	<i>eL</i>	47						Épicentre : Mer de Baffin.
	F	21 (20)						Ag.
23/VIII	<i>eL</i>	11 23						
	F	40						
	<i>e</i>	14 22 1						E-W.
	<i>i</i>	51						N-S.
	<i>e</i>	24 24						E-W.
	<i>e</i>	26 19						N-S.
	<i>eL</i>	44						
	F	16 (25)						Ag.
25/VIII	<i>e</i> (P)	5 13 37						N-S.
	(S)	18 24						N-S.
	<i>eL</i>	19						
	F	7 10						
	<i>eL</i>	21 17						Ag.
	F	30						
26/VIII	<i>eL</i>	13 19						
	F	55						
	(<i>e</i>)	16 37						
	<i>e</i>	46						
	<i>eL</i>	17 16						
	F	45						
27/VIII	<i>eL</i>	6 6						
	F	30						

DATES	PHASES	HEURES	T	AMPLITUDES			$\Delta_{M_{Cw}}$ klm.	REMARQUES
				A_N μ	A_E μ	A_Z μ		
31/VIII	(P)	17h 52m 11s						Vert. Wiechert.
	<i>eL</i>	18 (18)						Ag.
	F	19 (15)						
1/IX	<i>eL</i>	1 27						
	F	45						
2/IX	<i>eL</i>	8 21						Ag.
	F	49						
3/IX	<i>eL</i>	11 42						
	F	12 10						
	<i>eP</i>	17 39 20					1850	Vert. Wiechert.
	<i>eS</i>	42 32						
	L	44,9						Ressenti à Janina.
	F	18 30						
4/IX	<i>eP</i>	1 38 17					7030	Vert. Wiechert et N-S.
	<i>eS</i>	46 56						Épicentre : Alaska.
	F	—						Dans le suivant.
	<i>eP</i>	1 50 32					9900	Vert. Wiechert.
	<i>iPP</i>	54 7						
	SKS	2 0 (59)						E-W. Dans l'inter. de l'heure.
	<i>iSKKS</i>	1 17						N-S.
	<i>iPS</i>	2 21						N-S et E-W.
	<i>eL</i>	18						Épicentre : Région Formose.
	M	25 28	26 ^s	— 73	+ 62			
	M	54	24,5	— 100	+ 73			
	M	26 17	22	— 110	+ 71			
	M	39	21	— 88	+ 74			
F	35 11	15		+ 58			Dans le suivant.	
	<i>eP</i>	3 41 2					9900	Vert. Wiechert. Faible.
	<i>ePP</i>	44 28						id.
	(SKKS)	51 48						N-S
	<i>eL</i>	4 12						Réplique Formose.
	F	5 15						
6/IX	<i>eL</i>	21 57						Faible.
	F	22 30						
9/IX	<i>ePP</i>	6 36 56					12400	E-W.
	<i>eSKS</i>	42 58						E-W.
	PS	46 30						N-S.
	SS	52 55						E-W.
	SSS	56 33						
	G	7 3 25						Épicentre : 5°8 N, 139° E d'après JSA.
	L	5						
M	16 57	24,5	— 67	+ 59				
	F	9 5						
	<i>i</i>	9 20 32						Vert. Wiechert.
	<i>i</i>	43						id.
	F	—						Ag.
11/IX	<i>eL</i>	13 8						Interruption.
	F	—						
	<i>iP</i>	14 16 12					8790	Vert. Wiechert. Compression.
	<i>iS</i>	26 14						Horiz. Wiechert.
	<i>iPS</i>	54						E-W. id.
	<i>eL</i>	40						
	M*	55 15	20	— 200		+ 380		Épicentre : Japon 44° 5 N, 147°E d'après JSA.
	M*	20	22					
	M*	38	22					
F	18 30							

BULLETIN SÉISMIQUE

DE

L'OBSERVATOIRE ROYAL DE BELGIQUE, A UCCLE

$\varphi = 50^{\circ}47'55''$ N. $\lambda = 4^{\circ}21'31''$ E, $h = 100$ m. Sous-sol : sable.

Instruments : Deux pendules horizontaux GALITZINE et un vertical WILIP-GALITZINE à enregistrement photo-galvanométrique. Un pendule inversé de WIECHERT (masse 1000 kg.). Un vertical WIECHERT (masse 1300 kg.).

DATES	PHASES	HEURES	T	AMPLITUDES			Δ_{Mcw} klm.	REMARQUES
				A_N	A_E	A_Z		
12/IX	e e F	16h 20m 7s 22 25 ?		μ	μ	μ		Vert. Wiechert. id.
14/IX	eL F	21 31 40						Ag.
15/IX	eL F	4 40 45						Ag.
	e eL F	11 54,4 12 (14) 13 35						Ag.
	e eL F	14 40 15 (3) 16 (40)						Ag.
18/IX	eP eS F	5 10 3 20 (14) ?					9000	Vert. Wiechert. Ag. Épicentre : Colombie.
	eL F	9 (0) (45)						Ag.
	eL F	20 (52) 21 15						Ag.
19/IX	eL F	3 (29) 4 (15)						Ag.
20/IX	eP' ePP i i(S) PS SS i G L M* M* M* M* F	2 5 33 7 1 21 15 9 16 54 23 42 27 5 37 19 38 47 39 49 35 47 3 1 28	32° 27 26 18,5		- 350 - 490 - 410		13500	N-S. E-W. N-S. E-W. E-W. Wiechert. N-S. Wiechert. id. Épicentre : 4°S, 140°5E d'après JSA.
	e e eL F	5 43,5 53 27 7 22 8 (30)						Dans le suivant. Vert. Wiechert. N-S. Wiechert.
	e eL F	21 34 30 22 4 23 25						Ag. E-W.
23/IX	PP SKS SKKS PS L M M F	9 38 43 44 14 45 43 48 34 10 8 19 46 22 14 12 45	31 25		- 37 - 29		13380	Vert. Wiechert. Horiz. Galitzine. id. id. Épicentre : 0°5 N, 141° 5 E d'après JSA.

O. SOMVILLE.
Ch. CHARLIER.

DATES	PHASES	HEURES	T	AMPLITUDES			Δ_{Mcw} klm.	REMARQUES
				A_N	A_E	A_Z		
24/IX	e eL F	5h 38m 2s 57 7 25		μ	μ	μ		E-W.
	eP iS eL F	22 23 52 33 16 47 23 (45)					7980	Vert. Wiechert. N-S. Épicentre : 50° N, 129° W. d'après JSA. Ag.
25/IX	eL F	11 19 (45)						Ag.
26/IX	e eL	23 0 23						
27	F	0 30						
28/IX	e e e e i i F	16 19 (49) 54 20 3 11 54 21 4 11 26						Vertical. Faible. Horiz. Wiechert et Galitzine. N-S. Wiechert. E-W. id. E-W. id. N-S. Galitzine. Ressenti région Cognac (France).
30/IX	e(P) e(S) eL F	19 7 (46) 12 (50) 16 (30)						Vertical. Ag. E-W.
2/x	iP i iPP iS e L M M F	5 45 8 23 48 15 55 9 6 1 43 10 24 20 23 7 (0)	6° 34 34				8760	Compression. Vertical. N-S. N-S. N-S. Épicentre : région île Yéso. (Japon). Ag.
7/x	eL F	5 38 6 0					+ 25 + 30	
8/x	e SS eL M F	9 27,7 38 5 41 46 1 11 0	13,5				- 29	Changement des feuilles.

DATES	PHASES	HEURES	T	AMPLITUDES			Δ_{Mcw} klm.	REMARQUES
				A _N	A _E	A _Z		
19/xii	eL F	14 ^h 4 ^m 20		μ	μ	μ		
20/xii	e e e e e eL M F	18 58 49 ^a 59 47 19 5 39 9 1 18 37 23 17 38 52 21 15	24*	+ 15				Vertical. N-S. N-S. N-S.
21/xii	e eL F	12 14 4 28 13 10						E-W.
23/xii	e e eL F	15 1 5 23 16 0						N-S.
24/xii	(eP) e i eL F	12 37 47 (7) 39 59 14 (10)						Vertical. Ag. N-S. E-W.
27/xii	P i iPP i i i i i SS SSS SSSS L M* M* M* M* M* F eL F	2 48 38 49 52 20 59 15 36 38 50 51 3 1 2 5 46 9 46 13 10 16 35 25 42 22 49 50 51 8 52 41 7 (50) 19 40 55	25	24 49 18 19.5 18	+ 220 + 170 - 100 - 130 - 90		10300	E-W. E-W. et Vertical id. E-W. E-W. N-S. N-S. Wiechert. Vertical. E-W. Wiechert. id Horiz. Wiechert. E-W. Wiechert. Épicentre : W de Sumatra 0°35 97°9 E d'après Batavia.
29/xii 30	e e e eL F	23 57 0 4,5 17 21 36 2 (5)						E-W. E-W. Forte Ag.
30/xii	e(P) (S) F iP e(P) e i F	3 8 (38) 9 31 11 3 37 5 16 34 54 42					(380) (380)	Vert. Wiechert. Incertain. Épicentre : Forêt-Noire. Vertical Wiechert. Réplique. Forêt-Noire. Horiz. Wiechert. E-W. Wiechert.